

رسم خرائط ثلاثة الأبعاد لتغيرات بعض صفات التربة الفيزيائية باستخدام الإحصاء المكاني

كرار رزاق جواد الحسيني

كلية الزراعة: جامعة القاسم الخضراء

منير هاشم صادق

الخلاصة :

صممت تجربة حقلية في موقع بالقرب من مدينة الحلة / العراق لدراسة التغيرات المكانية لبعض صفات التربة الفيزيائية ومن ثم تحديد انساب الطرق للتنبؤ بقيم هذه الصفات للموقع التي لم يؤخذ لها عينات من أجل رسم خرائط ثلاثة الأبعاد لهذه الصفات.

تهدف الدراسة إلى تقييم طريقة التقدير الكريجينك الاعتيادي (OK) وطريقة وزن المسافة المعكوس (IDW) عن طريق عدد من الاختبارات الإحصائية مثل استخدام درجة دقة التنبؤ (G) أو قيمة معدل مربع الخطأ (MSE) ومن ثم الوصول إلى أفضل طرائق التنبؤ من أجل تحديد طريقة التقدير المثالية لرسم خرائط بعض صفات التربة الفيزيائية

وعلى عمقين الأول (cm 15-0) والعمق الثاني (cm 30-15).

النماذج المستخدمة لرسم الاعتمادية البيانية لصفات التربة تراوحت بين النموذجين الاسي و الكروي وباختلاف نوع الصفة وتشابهها صفات التربة الفيزيائية في نوع النموذج المستخدم باختلاف العمق .

كما اختلفت درجات الاعتمادية لصفات التربة الفيزيائية باختلاف نوع الصفة قيد الدراسة وعمق اخذ العينات وسجلت صفة المحتوى الرطبوي الحجمي لترابة خلال العمق الأول أعلى مدى للاعتمادية البيانية بين الصفات الفيزيائية بلغ (118.3) مترا في حين سجل أقل مدى للاعتمادية البيانية عند العمق الثاني لصفة النسبة الفراغية المئوية وبلغ (3.5) مترا .

3D Mapping For The Variables Of Some Soil Physical Properties By Using Spatial Statistic

Muneer. H. Sadiq

Abstract:

A field experiment was conducted near the city of Hilla / Iraq to study the spatial variability for different soil physical properties, and then determining the most appropriate way to predict the values of these properties at the sites that have not taken soil samples, in order to draw a three-dimensional maps of these properties.

This study aims to evaluate two ways of appreciation, ordinary kriging (OK), and inverse distance weight (IDW)

Karrar .R. J.ALHussiny

metods through a number of statistical tests such as the degree of prediction accuracy (G), and the mean square error (MSE), in order to know the best prediction and mapping method for different soil physical, chemical properties for two soil depths (15-0 cm) and (30-15 cm).

Models used to fit the spatial dependency of soil physical properties ranged between exponential and spherical models depending on the type of property and depths of samples.

الباحث مستل من رسالة ماجستير للباحث الثاني

Soil physical properties showed different degree of spatial dependency depending on the property and the depth of sampling, for example the volumetric water content at the first depth shows the highest degree of spatial dependency (118.3 meter) while the void ratio at the second depth shows the lowest degree of spatial dependency (3.5 meter).

المقدمة :

بعد تغير صفات التربة الفيزيائية أحد مؤشرات التغير المكانى الكامن في التربة (Wendroth et al 2003). وان الإحصاء الحيولوجي بعد أداة هامة ترتكز على مجموعة من البيانات المكانية والزمنية لغرض تحديد تلك التغيرات في التربة (Maiorana et al 2001)، وتحديد مناطق الانضغاط والرص في التربة وتطوير ممارسات إدارة التربة التي تؤثر بشكل مباشر في إنتاج المحاصيل الزراعية من خلال التأثير على حركة الماء والمعذيات داخل جسم التربة وهذا كله لا يمكن أن يتحقق إلا من خلال تقييم التوزيع المكانى لصفات التربة الفيزيائية مثل الكثافة وقابلية التربة للاختراق وغيرها من الصفات (Özgöz et al 2007). أن التباين المكانى لخصائص التربة في منطقة معينة مهم لتقدير إمكانيات الإنتاج النباتي في تلك المنطقة وبالتالي تحسين الأرباح وإدارة التربة وحماية البيئة.

إن مصدر التغير المكانى للتربة ينشأ من عوامل مختلفة أهمها عوامل تكوين التربة وممارسات إدارة التربة وهي تؤثر وبالتالي على حاصل الإنتاج (McGraw. 1994, Mulla & McBratney 2000). كما إن التغير في صفات التربة الفيزيائية يمكن أن يعزى إلى حالات الترطيب والتجفيف التي تتعرض لها التربة موسمياً (Dörner et al 2009), واختلاف طرق إدارة وحراثة التربة (Özgöz et al 2007)، وعمليات الرعي (Krümmelbein et al 2009)، وكذلك طبيعة استخدام الأراضي (Özgöz et al 2011).

درس Gajem et al في عام 1981 الاعتمادية المكانية لقياسات صفات التربة خلال 12 موقعاً باستخدام مخطط الارتباط الذاتي (autocorrelogram) وقد بينوا أن مسافة الاعتمادية المكانية لتلك الصفات تغايرت من بضع سنتمرات حتى بلغت مئات الأمتار لصفات أخرى. Russo & Bresler (1981) وجداً إن العديد من صفات التربة الهيدروليكيه (Hydraulic Properties) كانت مرتبطة مع بعضها بمسافات مكانية مختلفة وكانت كما يلي : 21 متراً لالإ يصلالية المائية المشبعة (Saturated Hydraulic Conductivity) و 55 متراً لمحتوى التربة المائي (Soil Water Content) و 25 متراً لمحتوى التربة من الماء المتبقى (Residual Soil Water Content). وقد بين كل من Sisson & Wierenga (1981) إن الموديل الارتدادي (Autoregressive Model) من الدرجة الأولى وصف بصورة جيدة درجة الارتباط بين النماذج عند دراسة النسبة المئوية لغليس الماء (Infiltration Rates) داخل التربة كما وجد Vauclin et al (1982) نفس النتيجة السابقة عند دراسته لصفة لدرجة حرارة سطح التربة (Surface Temperature) ورطوبة سطح التربة (Soil Surface Wetness) بعد عملية الري . في حين استخدم آخرون دالة التباين النصفى (Semivariogram) لدراسة التغير المكانى لصفات التربة.

إن العديد من الدراسات قارنت بين استخدام الطرق الكلاسيكية من جانب والطرق المستندة على Kriging من جانب آخر مثل قياس وزن المسافة المعكوس وغيرها (Dubrule. Laslett et al 1984, 1987). وقاعدة عامة وجد إن جميع الطرائق التي تستند في أساسها على Kriging كانت أفضل في التقدير من الطرق الكلاسيكية في التنبؤ عندما تكون البيانات متغيرة بشكل كبير من حيث القيم. أما طريقة وزن المسافة المعكوسه تكون أكثر مناسبة من باقي الطرق للاستخدام مع البيانات التي تكون ذات تغيرات قليلة المدى (Cooke et al 1993) مقارنة بالبيانات التي تكون ذات اعتمادية كبيرة (Gotway et al 1996) . ووضح Gotway et al (1996) الاستنتاج

الرئيسي من اغلب دراسات المقارنة بين طرائق التقدير وهو إن دقة التنبؤ تعتمد بشكل كبير على طبيعة الصفة المقاسة أكثر من اعتمادها على نوع طريقة التنبؤ .

عند اخذ عدد كثيف من العينات بطريقة شبكية نظامية تكون هناك اختلافات بسيطة بين الطرق المستخدمة في التنبؤ ، جميع حسابات التقدير (مربع المسافة العكسية ، طريقة المربعات ، الخ) تعمل على تقدير القيمة في الموقع المطلوب بالاعتماد على مجموع أوزان العينات في المنطقة المحاطة بالنقطة المجهولة . وبصورة عامة فان جميع أوزان هذه الصفات تتناقص أو تتزايد مع المسافة . ولكن في تقنية Kriging فان Kriging يعين الأوزان بالاعتماد على مفهوم الاعتدال (moderately) لأوزان البيانات المساعدة في التقدير أي يستثنى المديات العالية من القيم التي تؤثر على دقة التقدير ، وهذا المفهوم لا يستند إلى إلغاء المفهوم القديم في التقدير ولكن بتغيير الصيغة ، ولكن في كثير من الحالات يلاحظ تشابه نتائج الكريجنك مع نتائج الطرق الأخرى بشكل كبير(Isaaks & Srivastava, 1989). وبالأخص إذا كانت العينات كثيفة إلى حد ما وموزعة بشكل نظامي في منطقة التقدير ، أي التوصل إلى تقدير جيد في جميع الطرق بغض النظر عن خوارزمية التنبؤ .

وفي ضوء ما تقدم اقترح Warrick et al (1988) إن تقنية Kriging تعد أفضل طرق التنبؤ المكانى لأنها الطريقة الوحيدة التي تسمح باستخدام النقاط الشديدة للتغير عن بعضها في التقدير . في حين أشار Whelan et al (1996) إلى أن طريقة التقدير التي تعتمد على وزن المسافة المعكوس تتتفوق بشكل واضح على طريقة الكريجنك في حال كون عدد العينات قليل وموزعة طبيعيا .

المواد وطرائق العمل :

أخذت العينات من حقل يقع أمام موقع جامعة بابل على بعد 10km إلى الجنوب من مركز مدينة الحلة الواقعة ضمن المنطقة الوسطى من العراق وتکاد تحتل وسط السهل الرسوبي بين خطى طول 44° - 45° شرقاً ودائرة عرض 30° - 32° شمالاً . تم تحديد مسافة مدارها 5m بين عينة واخرى ، واخذت العينات على محورين x , y حيث بلغ طول كل خط مستقيم 250 m أي 50 موقعاً للعينات على كل خط وبعمقين لغرض تحديد التباين في الصفات الفيزيائية والكيميائية للترابة ، حيث تم اخذ العينات على عمقين مختلفين الأول من (0-15 cm) وتمثل الطبقة السطحية للترابة أما الثاني فيمثل الطبقة تحت السطحية من عمق (15-30 cm) . كما تم اخذ عينات تربة غير مثاره لغرض قياس الاصالية المائية المشبعة والكتافة الظاهرية للترابة وعينات تربة مثاره إذ تم تجفيف العينات وطحنت بشكل متجانس من أجل إجراء الفحوصات الفيزيائية المحددة في البحث ثم نقلت العينات بواسطة أكياس من البولياثيلين إلى المختبر لإكمال التجربة .

تم تقدير الكثافة الظاهرية بطريقة العينة غير المثاره (Core Sample) وحسب الطريقة الواردة في (1965, Blake) ، تم تعين التوزيع الحجمي لمفصولات التربة باستعمال التحليل الميكانيكي حيث تم الحصول على أجزاء الرمل باستعمال النخل الرطب في حين تم حساب أجزاء الغرين والطين باستعمال طريقة الماصة Pipette analysis method حسب الطريقة الموصوفة في (1965 Blake)

جدول (1) نسجة التربة .

نسجة التربة Soil Texture	
النسبة غم / كغم ⁻¹	المفصول
%57.0	الرمل
%22.3	الغررين
%20.7	الطين
مزيجية رملية	النسجة

الايصالية المائية المشبعة قدرت باستعمال

Falling head طريقة عمود الماء المتغير ()
Un disturbed للتربة غير المثارة (method)
حسب ما ورد من قبل Dirsken (Soil
Klute 1986) قيس محتوى التربة الرطبوى
الجمي باستعمال الطريقة الوزنية (الطريقة المباشرة
Gravimetric method) على وفق طريقة
1981,Kovacs (1950,Rusell) والموصوفة في ()
& Associates .

تم قياس الثباتية بواسطة جهاز قياس ثباتية
تجمعات التربة للمناطق الجافة وشبه الجافة وحسب
الطريقة التي وردت في (Hillel, 1980).
تم تحليل البيانات وفق طرائق الإحصاء
المكاني وباستخدام برنامج Gs+ Gamma ()
Design Software Version 9 1994 المنتج
من قبل شركة Gamma للبرمجيات .

طريقة التنبؤ :

اقتراح Variogram كأداة قوية وفعالة للتعبير
عن الاعتمادية البيانية للفياسات المجاورة
Variogram (Rendu 1978). وقد استخدم Matheron (1971) . حيث
الأولى من قبل العالم Matheron (1971) . حيث
أن Variogram يقيس معدل التغاير في قيمة
الصفات المقاسة بدلالة المسافة بينها
(Campbell, 1978). لذلك يمكن تعريف
Variogram بأنه عبارة عن مربع الفرق المتوقع بين
قيم العينات التي تفصلها المسافة (h) أو (lag h) أو
وكما يلي :

$$2\gamma(h) = E[(x(z) - x(z + h))^2] \dots \dots (1)$$

حيث

$2\gamma(h)$ تمثل Variogram

وان الدالة $\gamma(h)$ تدعى دالة التباين النصفي
(Semivariogram) وتعرف من خلال المعادلة :

$$\gamma(h) = \frac{1}{2} E[(x(z) - x(z + h))^2] \dots \dots (2)$$

إن دالة التباين النصفي (Semivariogram) يمكن
أن يرتبط بالتشتت (Variance) والتشتت الذاتي
(CoVariance) كما يلي:

$$\dots \dots (3) \gamma(h) = \delta^2 - \delta h$$

حيث

δ^2 : تمثل التشتت (Variance)

δh : تمثل التشتت الذاتي (CoVariance)

وتحسب دالة التباين النصفي (Semivariogram) من خلال العلاقة :

$$\gamma(h) = \frac{1}{Z_n(h)} \sum_{i=1}^{n(h)} [x_{(zi)} - x_{(zi+h)}]^2 \dots \dots (4)$$

عند رسم قيم $\gamma(h)$ مقابل المسافة بين
السلسلتين (lag h) نحصل على ما يسمى بدالة التباين
النصفي (Semivariogram) ولكن لتبسيط التسمية
فإن كثير من الباحثين يسمونه الفاريوكرام
(Variogram) وعادة فإن العلاقة بين $\gamma(h)$ مقابل
Variogram (lag h) تدعى (lag h)

يتم اختيار موديل Variogram المستخدم في
التحليل عن طريق قياس الخطأ الذي يمثل الفرق بين
القيم المقاسة والقيم المقدرة (Zhang et al 1992).
ويستخدم مقاييس تقاطع الجودة (cross-validation)
Variogram (criteria) لـ Variogram العينات المختار في
حالة وجود ارتباط معنوي بين القيم المقاسة والقيم
المقدرة (Myers 1991). وقد استخدم آخر معيار
لحساب معدل مربع الخطأ (Mean Square MSE)
أو حساب جودة التنبؤ (Goodness Of Error)
(Prediction) للمقارنة بين دقة الطرق المختلفة
للتنبؤ بالقيم التي لم تقام في الحال
(Kravchenko & Bullock 1999).

$$MSE = \frac{1}{n} \sum_{i=1}^n [Z^*(x_i) - Z(x_i)]^2 \dots \dots (5)$$

$$G = \left[1 - \frac{MSE}{MSE_{average}} \right] \times 100 \dots \dots (6)$$

$$MSE_{average} = \frac{1}{n} \sum_{i=1}^n [Z_m - Z(x_i)]^2 \dots \dots (7)$$

Z_m المتوسط الحسابي للعينات (Sample Mean)
 $Z^*(x_i)$ القيمة المقدرة (Estimation Value)
 $Z(x_i)$ القيمة المقاسة (Measured Value)

n عدد العينات المقاسة .

 $MSE_{average}$ يمثل قيمة معدل مربع الخطأ

لمتوسط القيم المقاسة .

 MSE يمثل معدل مربع الخطأ لقيم المقاسة .

G تمثل درجة دقة التقدير (%) .

النتائج والمناقشة :

التحليل الإحصائي لصفات التربة الفيزيائية كان كما

في الجدولين (2) (3) أدناه .

جدول (2) التحليل الإحصائي لقيم صفات التربة الفيزيائية خلال المحور (X)

الخطأ التجريبي S.E	قيمة الانحراف skew	معامل التغير C.V	أقل قيمة	أعلى قيمة	معدل القيم		
العمق							الصفة
15-30 cm	0-15 cm	15-30 cm	0-15 cm	15-30 cm	0-15 cm	15-30 cm	
0.14	0.16	0.04	0.21	0.02	0.02	1.04	0.92
4.26	5.26	0.55	0.57	18.1	27.7	11.2	12.1
0.39	0.54	0.72	0.89	0.16	0.3	18.6	18.6
1.91	2.43	-0.52	-1.31	3.65	5.92	8.2	3.87
							الكثافة الظاهرية
							المحتوى الرطوبوي
							الايصالية المائية المشبعة
							ثباتية مجاميع التربة

جدول (3) التحليل الإحصائي لقيم صفات التربة الفيزيائية خلال المحور (Y) .

الخطأ التجريبي S.E	قيمة الانحراف skew	معامل التغير C.V	أقل قيمة	أعلى قيمة	معدل القيم		
العمق							الصفة
15-30 cm	0-15 cm	15-30 cm	0-15 cm	15-30 cm	0-15 cm	15-30 cm	
0.19	0.19	-0.06	-0.17	0.04	0.03	0.9	0.66
5.72	4.33	-0.13	1.05	32.7	18.7	6.72	5.02
0.66	0.69	1.18	2.35	0.44	0.47	18.9	18.8
2.09	2.21	-0.69	-0.11	4.36	4.89	6.73	6.02
							الكثافة الظاهرية
							المحتوى الرطوبوي
							الايصالية المائية المشبعة
							ثباتية مجاميع التربة

أظهرت نتائج التحليل الإحصائي لصفات التربة الفيزيائية الواردة في الجدولين 3,2 اختلاف قيم معامل التغير C.V بين صفات التربة الفيزيائية المختلفة وخلال المحورين (Y),(X) ، بلغ اقل مقدار للتغير قيمة 0.02% وذلك لصفة الكثافة الظاهرية للتربة للعمقين الأول والثاني من المحور (X) كما إن صفة كثافة التربة الظاهرية سجلت اقل قيمة لمعامل التغير بين الصفات الفيزيائية في المحور (Y) بلغت

0.04% ، 0.03% للعمقين الأول والثاني على التوالي .

إن تغير صفة محتوى التربة الرطوبوي الحجمي يمكن اعتباره متوسطا (%50 - %15) وفقا للمقياس الذي وضعه العالم Warrick (1998) لتغير صفات التربة في حين سجلت الصفات الأخرى مثل كثافة التربة الظاهرية والإصالية المائية المشبعة وثباتية تجمعات التربة تغيرا ضعيفا وفقا للمقياس نفسه .

من ناحية انحراف التوزيع التكراري (skew value) لوحظ من الجدول 2 إن صفت ثباتية تجمعات التربة أعطت قيمًا سالبة للانحراف ولكل العمرين من المحور (X) بلغت 0.52 ، 1.13- على التوالي في حين أظهرت الصفات الفيزيائية الأخرى في المحور (X) قيمًا موجبة للانحراف بالرغم من كون تلك القيم ضئيلة (أقل من 1) .

اما خلال المحور (Y) حافظت ثباتية تجمعات التربة على قيم سالبة للانحراف بلغت -0.11 ، -0.06 ولكل العمرين الأول والثاني على التوالي و كذلك سجلت كثافة التربة الظاهرة قيمًا سالبة للانحراف في العمق الأول والثاني بلغت على التوالي 0.17 ، -0.06- في حين كانت قيمة الانحراف سالبة عند العمق الثاني فقط لصفة محتوى التربة الرطوبى الحجمي وبلغت قيمة -0.13 . واستمرت قيم كل الایصالية المائية المشبعة للتربة والمحتوى الرطوبى عند العمق الأول بنسب موجبة مع زيادة قليلة في قيم الانحراف لهذه الصفات مقارنة مع قيم انحرافها عند المحور (X) .

من ناحية اختلاف قيم الصفات الفيزيائية مع العمق فقد لوحظ من خلال الجدولين السابقين اختلاف معدلات قيم جميع صفات التربة الفيزيائية بين العمق الأول (0-15 cm) والعمق الثاني (15-30cm) فمن ناحية كثافة التربة الظاهرة أدت الزيادة في أعماق النماذج إلى زيادة قيم الكثافة الظاهرة للتربة وبشكل ملحوظ ولكل المحورين (X),(Y) ففي المحور (X) سجلت الكثافة الظاهرة للترابة في العمق الأول معدل 1.18 ميكاغرام.كغم⁻³ بينما بلغ معدل الكثافة الظاهرة للترابة في العمق الثاني من نفس المحور (x) 1.31 ميكاغرام.كغم⁻³ وبلغت أعلى قيمة للكثافة الظاهرة في الطبقة السطحية في هذا المحور 1.53 ميكاغرام.كغم⁻³ في حين سجلت أقل قيمة للكثافة الظاهرة في العمق الأول ضمن المحور (Y) وبلغت 0.66 ميكاغرام.كغم⁻³ وقد يعود سبب انخفاض كثافة التربة الظاهرة ضمن عمق الحراثة إلى عمليات

إدارة التربة و فعل المكائن الزراعية المستخدمة في الحقل . لاحظ الحمداني (1982) انخفاض الكثافة الظاهرة للترابة المحروثة وللعمق 20 سم بسبب تفكك الكتل الكبيرة إلى أحجام أصغر مما يؤدي إلى تحسين بنائها وزيادة نسبة الفراغات المسامية فيها. يعزى الارتفاع في قيم الكثافة الظاهرة إلى زيادة الرطوبة وحصول عملية الفشل في ارتباط دقائق التربة بشكل مجامي (Wilsun & Starzewski 1975). من ناحية أخرى تعمل جذور النباتات في خفض قيمة الكثافة الظاهرة نتيجة زيادة حجم الفراغات المسامية في وحدة الحجم عند تغلغل الجذور في جسم التربة مما يعمل على التقليل من اضطرابية التربة (Low 1973) ، في حين توصل الحديثي (1983) إلى أن زيادة الكثافة الظاهرة يؤدي إلى انخفاض ملحوظ في معدل القطر الموزون للتربة بسبب الرص وتحطم مجامي التربة بفعل استخدام المكائن الزراعية في الحقل .

أشار الجنابي وأخرون (1991) إلى إن تغير قيمة الكثافة الظاهرة للترابة كان معنويًا عند حدود من 30-25 متراً خلال دراسته لتغير صفات الفيزيائية للترابة في مدينة الموصل .

التحليل المكاني لصفات التربة الفيزيائية :

لغرض دراسة تباين صفات التربة المختلفة بالاعتماد على المسافة بين تلك الصفات يتم حساب دالة التباين النصفي للقيم وفقاً للمعادلة (4) ويحدد البرنامج أفضل الموديلات تطابقاً مع القيم المقاسة لرسم شبه دالة التباين النصفي من خلال أكبر قيمة لمعامل الانحدار وأقل قيمة للخطأ القياسي . ومن دراسة التغير المكاني لصفات التربة الفيزيائية المحسوب بواسطة دالة التباين النصفي اظهر التحليل الجيواحصائي لقيم صفات التربة الفيزيائية العديد من موديلات التغير المكاني بين الصفات وكذلك مدى واسع من الاعتمادية المكانية وكما هو موضح في الجدول التالي .

جدول (4) الموديلات المستخدمة لرسم دالة التباين النصفي مع قيم الثوابت ودرجة الاعتمادية لصفات التربة الفيزيائية خلال العمقين الأول والثاني من التجربة .

الصفة	العمق	نوع الموديل المستخدم	قيمة nugget (c_0)	قيمة العتبة (sill) (c_0+c)	المدى (a) متر	$\frac{c_0}{c_0 + c}$	درجة الاعتمادية البيانية
الكثافة الظاهرية	0-15cm	اسي	0.0165	0.0338	96.4	0.4867021	متوسطة
	15-30 cm	اسي	0.000003	0.0251	4.7	0.0011971	عالية
المحتوى الرطوبى	0-15cm	كروي	14.46	44.83	118.3	0.3225519	متوسطة
	15-30 cm	كروي	7.61	30.82	95.5	0.2469176	عالية
الايصالية المائية المشبعة	0-15cm	كروي	0.001	0.463	24.7	0.0021598	عالية
	15-30 cm	كروي	0.1143	0.3996	106.1	0.286036	متوسطة
ثباتية مجاميع التربة	0-15cm	كروي	0.23	6.172	12.4	0.0372651	عالية
	15-30 cm	كروي	0.12	4.035	11.3	0.0297398	عالية

من ناحية الكثافة الظاهرية استخدم الموديل الاسي لرسم دالة شبه الفاريوكرام وعلى العمق الأول والثاني واختلفت قيمة المدى (a) من 96.4 مترا عند العمق الأول عندما كانت درجة الاعتمادية البيانية متوسطة ($C_0/C_0 + C = 0.4867021$) لتصبح بمدى 4.7 مترا للعمق الثاني عند درجة اعتمادية مكانية عالية بين النماذج ($C_0/(C_0 + C) = 0.0011971$) إن تحديد درجة الاعتمادية المكانية للصفات يحسب من خلال إيجاد النسبة ما بين قيمة تغير nugget (c_0) إلى قيمة تغير العتبة sill ($c_0 + c$) وهذا ما اقرره العالمان mettermicht & Robinson في عام 2006 ويدعى بحساب قيمة الخطأ في نموذج الفاريوكرام (Semivariogram Model Error) فإذا كانت نسبة هذا الخطأ أقل من 0.25 يظهر التغير ارتباطا مكانيا عاليا بين الواقع المقاسة أما في حال كون هذه النسبة بين 0.25-0.75 فإن درجة الارتباط المكانى تكون متوسطة وفي حال كون هذه النسبة اكبر من 0.75 فإن درجة الاعتماد المكانى بين الواقع تكون ضعيفة .

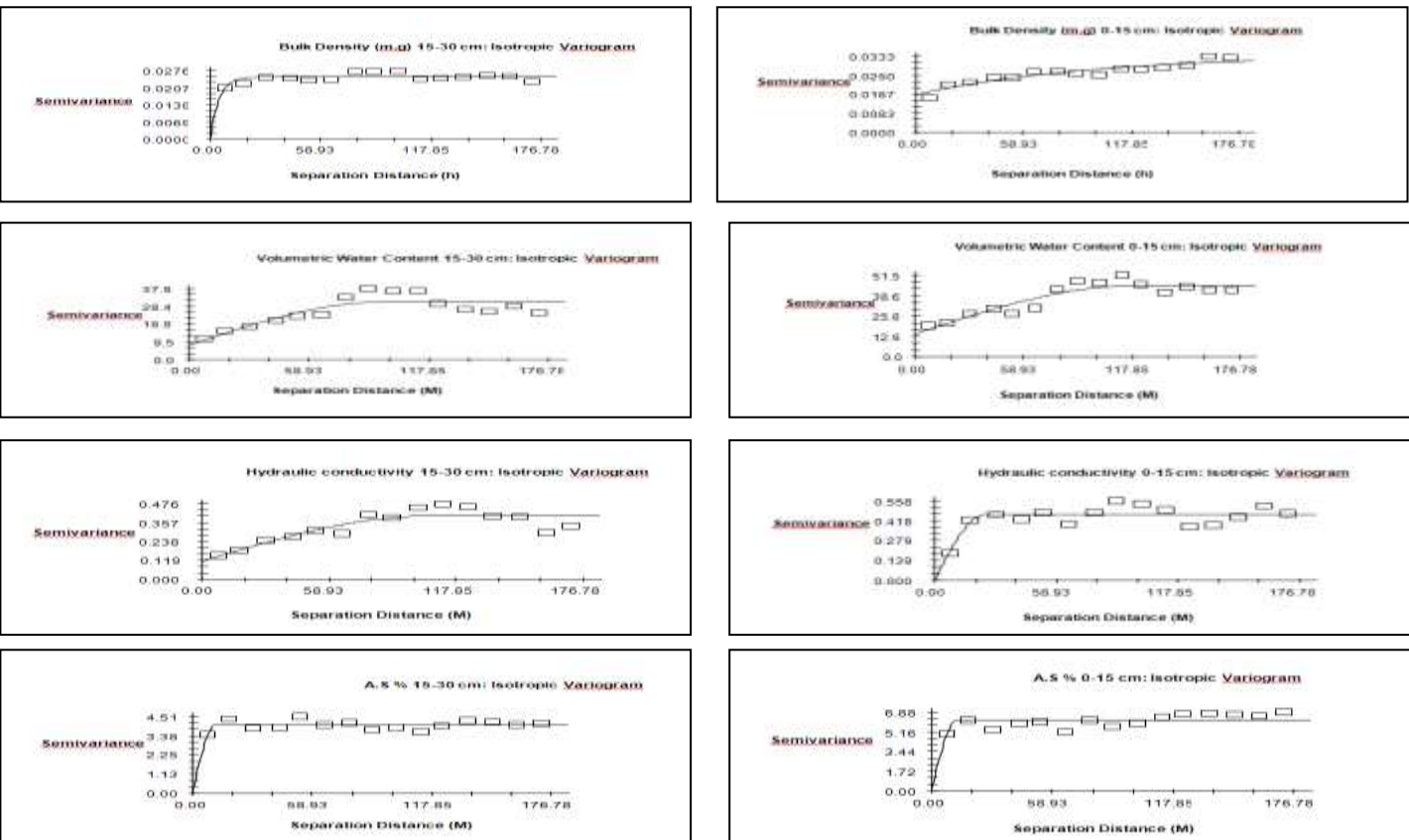
و جد (Janik, 2008) ان التغير في الكثافة الظاهرية للتربة خلال الحقل كان ضعيفا وان قيمة تأثير nugget كانت 0.788 وان sill كانت عند حدود 1.039 ولمسافة مؤثرة أو مدى (a) مساوي إلى 5.59 مترا . ولقد وجد Santra et al (2008) إن المسافة المؤثرة للكثافة الظاهرية لترسب الهند كانت بحدود 1053 مترا في الترب السطحية و 1201 مترا

للتراب تحت السطحية . أما من ناحية محتوى التربة الرطوبى الحجمي فان أفضل الموديلات المستخدمة لرسم شبه دالة الفاريوكرام هو الموديل الكروي وخلال العمق الأول والثاني من التجربة وكانت قيمة المدى (a) لصفة المحتوى الرطوبى الحجمي خلال العمق الأول 118.3 مترا وعندها كانت درجة الاعتمادية المكانية متوسطة ($C_0/C_0 + C = 0.3225519$) أما في العمق الثاني من التجربة فان المدى (a) لصفة المحتوى الرطوبى الحجمي للتراب كان بحدود 95.5 مترا وسجلت عنده درجة اعتمادية مكانية عالية ($C_0/C_0 + C = 0.2469176$) لأن الموديل الكروي كان أفضل الموديلات المستخدمة لرسم دالة التباين النصفي لصفة ايصالية التربة المائية خلال العمق الأول والثاني من التجربة بالرغم من كون التفاوت في مدى الاعتمادية المكانية بين العمق الأول والثاني لصفة الايصالية عاليا حيث سجل هذا المدى 24.7 مترا خلال العمق الأول من التجربة وكانت درجة الاعتمادية المكانية عالية ($C_0/C_0 + C = 0.0021598$) بين الواقع في حين كان مدى التغير في صفة الايصالية المائية المشبعة للتربة خلال العمق الثاني من التجربة 106.1 مترا ودرجة اعتمادية مكانية متوسطة ($C_0/C_0 + C = 0.286036$) ، من ناحية صفة ثباتية تجمعات التربة فإن العمق الأول والثاني لم يشهدا تغيرا واسعا في قيم المدى ونوع الموديل المستخدم وكذلك درجة الاعتمادية المكانية التي كانت عالية ($C_0/C_0 + C = 0.0372651$)

($C_0/C_0 + C = 0.0297398$) لكل العمرين على التوالي وكان أفضل الموديلات المستخدمة لرسم دالة التباين النصفي كروبيا خلال العمق الأول والثاني وانخفضت قيمة المدى بشكل طفيف مع العمق لتبلغ 11.3 مترا في العمق الثاني بعد

أن سجلت في العمق الأول مدى تغير بلغ 12.4 مترا وقد يعود السبب إلى ارتباط صفة الشباتية بشكل وثيق بقيمة كثافة التربة ودرجة الرص وازدياد قيمهما بازدياد العمق .

والأشكال البيانية الآتية (1) تمثل مخطط شبه الفاريوكرام لصفات التربة الفيزيائية خلال العمرين الأول والثاني من التجربة :



المقارنة بين رسم خرائط صفات التربة بتقنية الكريجنك البسيط وزن المسافة المعكوس

من خلال النتائج الموضحة في الجدول (5) السابق يلاحظ وجود تفاوت كبير في دقة استخدام طرائق التنبؤ وذلك تبعاً لاختلاف نوع الصفة المدروسة والعمق الذي تؤخذ منه النماذج فمن ناحية كثافة التربة والظاهرةية فإن طريقة الكريجنك البسيط سجلت أعلى مقدار دقة نتائج بلغ (41.69289%) وأقل معدل خطأ تجاري (0.017775) عند التنبؤ بقيم كثافة التربة الظاهرةية خلال العمق الأول مقارنة بطريقة وزن المسافة المعكوس التي كانت أقل من ناحية الدقة إذ سجلت درجة دقة بلغت (40.51589%) وأكبر من

ناحية مقدار الخطأ التجاري أثناء التنبؤ إذ بلغ معدل الخطأ التجاري لهذه الطريقة (0.018133). أما خلال العمق الثاني من التجربة فإن الوضع كان معاكساً حيث تفوقت طريقة التنبؤ بوزن المسافة المعكوس على طريقة الكريجنك البسيط في تقدير التغيرات باعتبارها أعلى دقة في التنبؤ وأقل من ناحية مقدار قيمة الخطأ التجاري إذ بلغت قيمة دقة النتائج المسجلة بواسطة وزن المسافة المعكوس (19.93753%) في حين كانت بمقدار (13.34624%) عند استخدام الكريجنك البسيط .

الجدول (5) أدنى يبين قيم كل من مربع الخطأ التجريبي (MSE) ودرجة دقة النتائج (G) المعتمدة لكل صفة من صفات التربة الفيزيائية عن طريق التنبؤ بالقيم الغير مقاسة ورسم الخرائط البيانية لها بتنقية الكريجنك البسيط (OK) وتنقية وزن المسافة المعكوس (IDW).

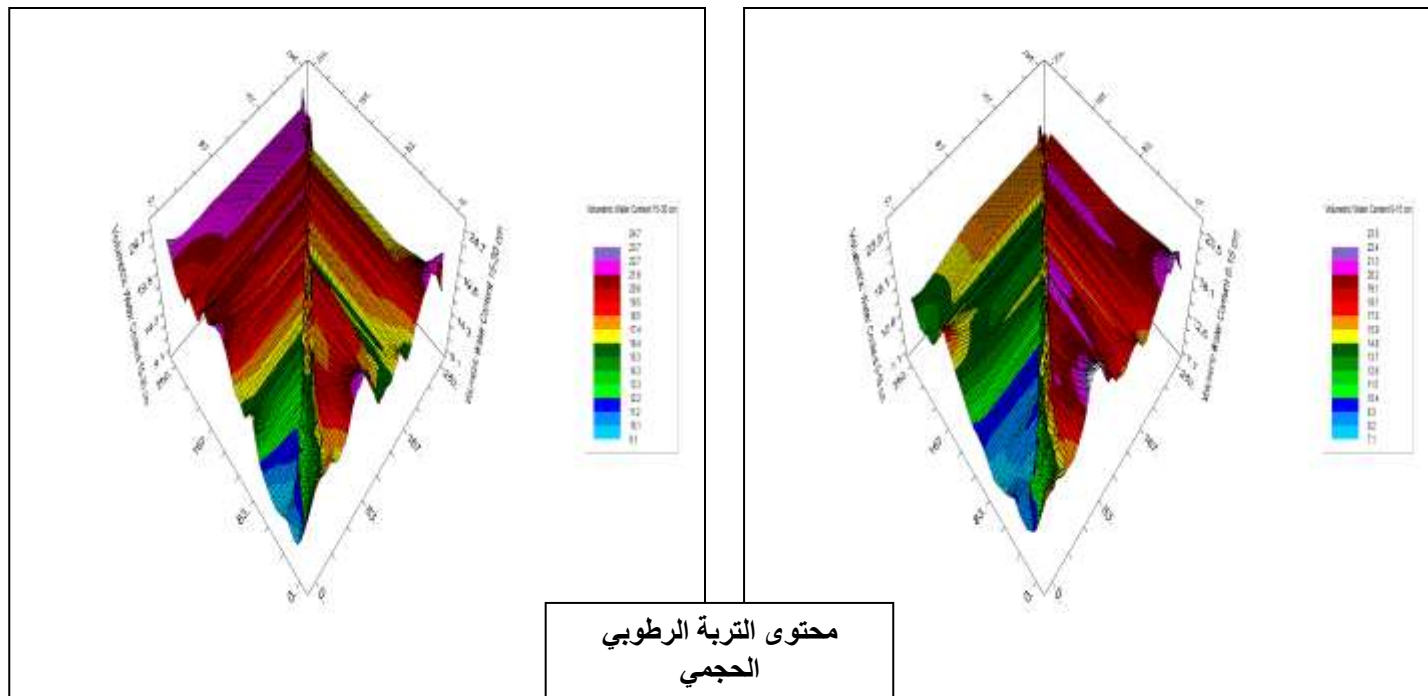
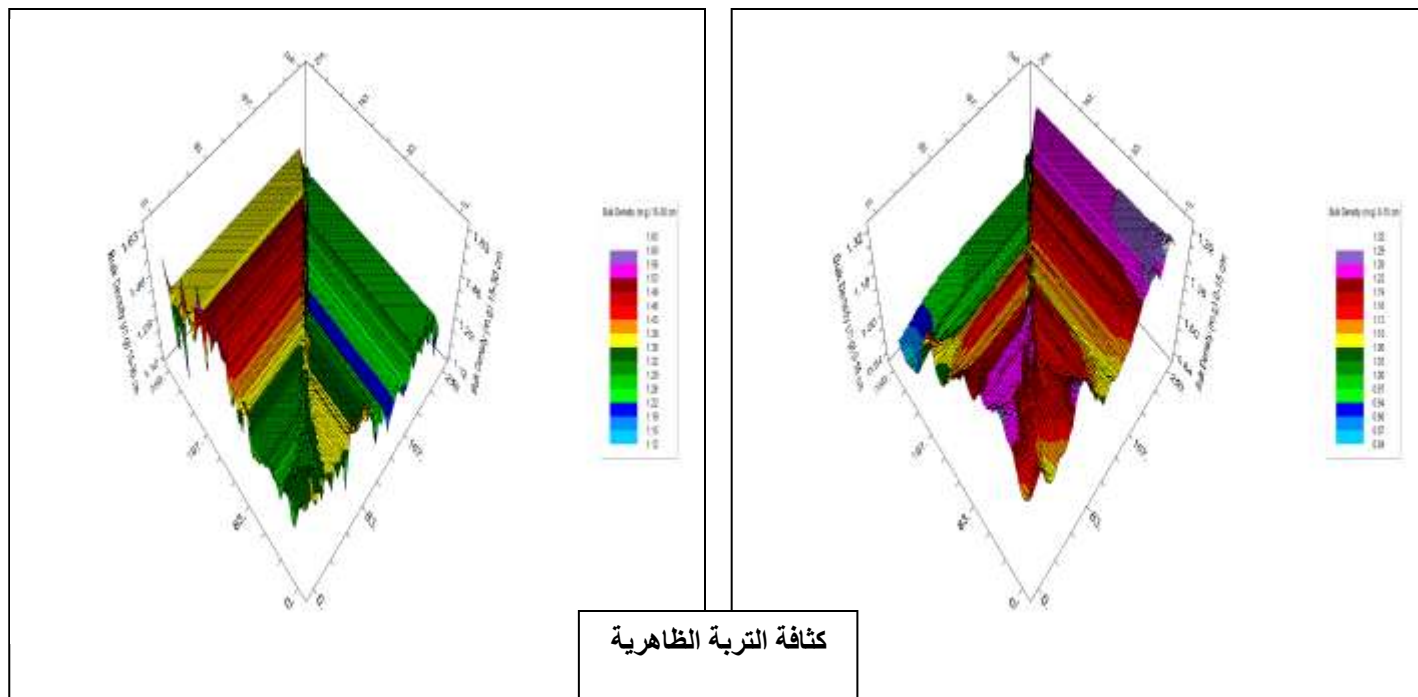
درجة دقة النتائج (G %)		مربع الخطأ التجريبي (MSE)		العمق	الصفة
IDW	Kriging	IDW	Kriging		
40.51589	41.69289	0.018133	0.017775	0-15 cm	الكتافة الظاهرية
19.93753	13.34624	0.022565	0.024422	15-30 cm	
47.07262	46.31446	20.77861	20.48517	0-15 cm	المحتوى الرطوبي
51.65168	54.64484	12.77791	11.98685	15-30 cm	
39.2032	69.04147	0.236803	0.120583	0-15 cm	الإ يصلالية المائية المشبعة
50.58699	51.95145	0.158361	0.153989	15-30 cm	
9.141688	-16.4438	5.628373	7.21331	0-15 cm	ثباتية تجمعات التربة
8.620792	4.505404	3.753233	3.922265	15-30 cm	

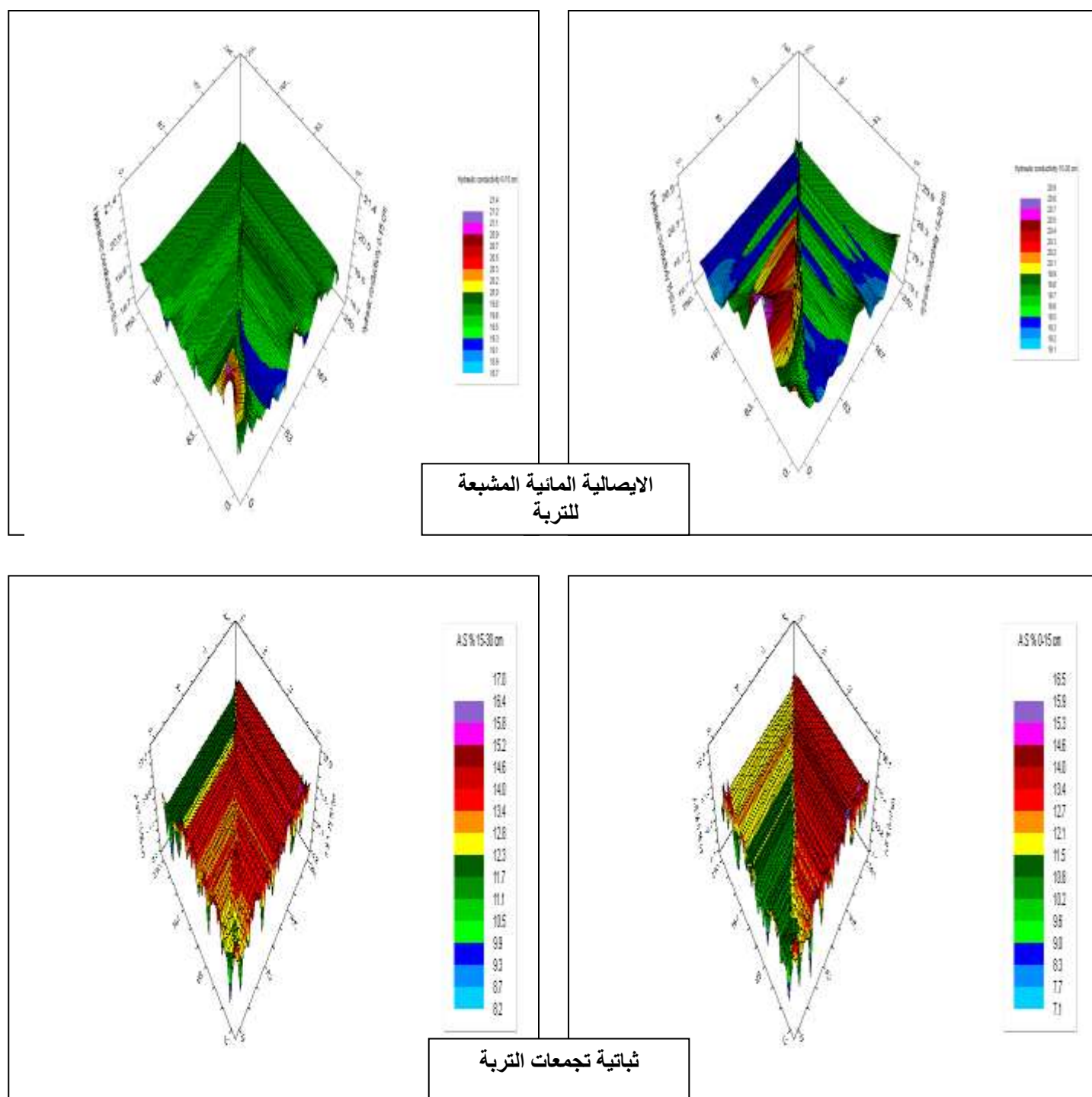
أما من ناحية صفة إ يصلالية التربة المشبعة كانت طريقة الكريجنك البسيط أفضل الطرائق للتنبؤ بتلك الصفة خلال العمرين الأول والثاني من التجربة وذلك لارتفاع دقة نتائجها وانخفاض قيمة الخطأ التجريبي لها مقارنة بطريقة وزن المسافة المعكوس حيث سجلت دقة النتائج باستخدام الكريجنك البسيط مقدار (69.04147%) خلال العمق الأول وبنسبة خطأ تجريبي بلغت (0.120583) في حين بلغت درجة الدقة ونسبة الخطأ بطريقة وزن المسافة المعكوس (39.2032%) و(0.2368) على التوالي . أما خلال العمق الثاني بلغت دقة النتائج المسجلة بطريقة الكريجنك البسيط (51.95145%) و قيمة الخطأ التجريبي مقدار (0.153989) في حين بلغت قيمة

الخطأ التجريبي ودرجة الدقة المسجلة بطريقة وزن المسافة المعكوس وبالبالغة (0.158361) و (%) 50.58699 على التوالي .

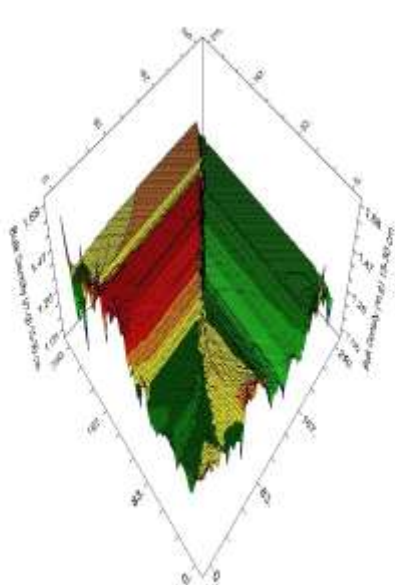
في حالة صفة ثباتية مجاميع التربة ، خلال العمق الأول والثاني كانت أعلى درجة دقة نتائج وأقل قيمة خطأ تجريبي لطريقة وزن المسافة المعكوس وكان مقدار الفرق بينها وبين طريقة التنبؤ بالكريجنك البسيط عالياً وخاصة خلال العمق الأول من التجربة حيث سجلت درجة دقة نتائج بطريقة وزن المسافة المعكوس (9.141688%) في حين كانت درجة الدقة المسجلة بطريقة الكريجنك البسيط ولنفس العمق (-16.4438%). وتكون خرائط صفات التربة كما يلي :

خرائط ثلاثة الأبعاد لقيم صفات التربة الفيزيائية خلال العمقين الأول على اليمين والثاني على اليسار من التجربة
مرسومة باستعمال طريقة الكريجنج البسيط .

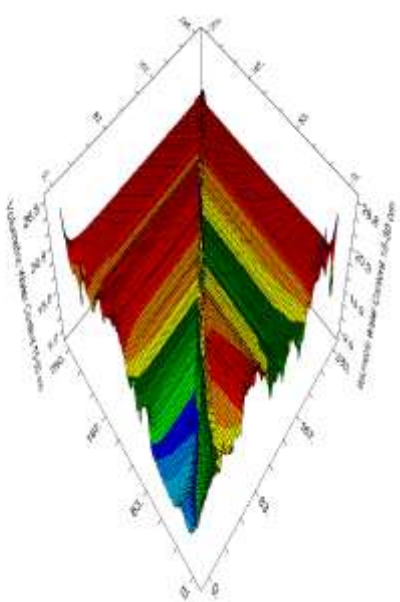
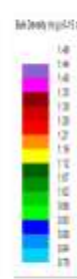
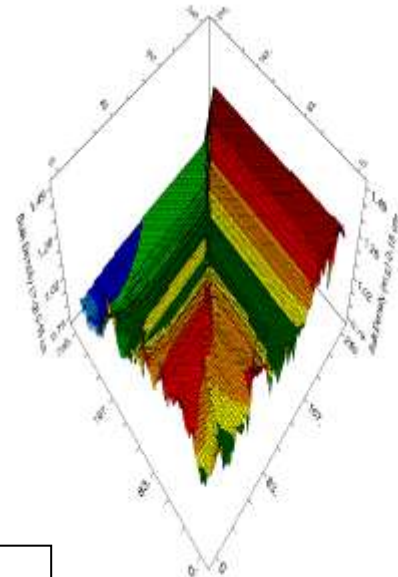




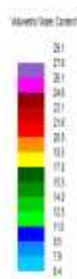
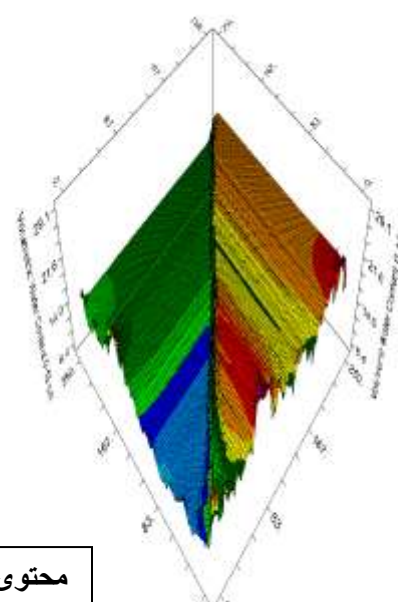
خرائط ثلاثة الأبعاد لقيم صفات التربة الفيزيائية خلال العمقين الأول على اليمين والثاني على اليسار من التجربة مرسومة باستعمال طريقة وزن المسافة المعكوس.

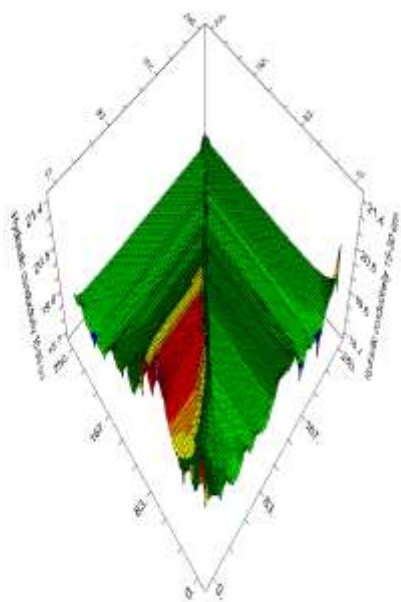
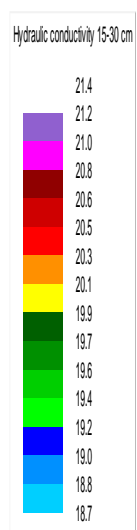
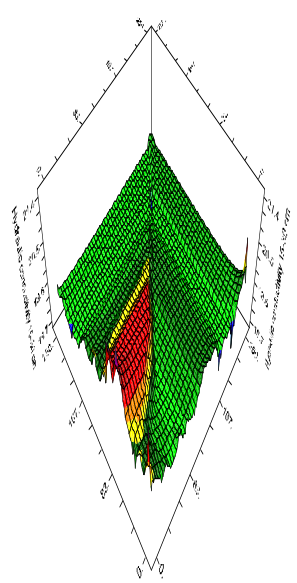


كثافة التربة الظاهرية

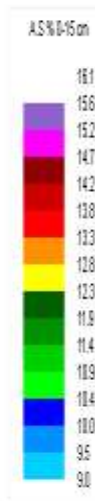
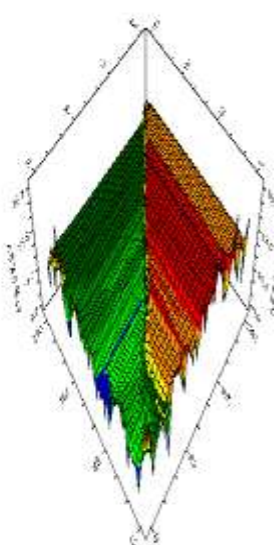
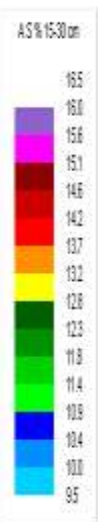
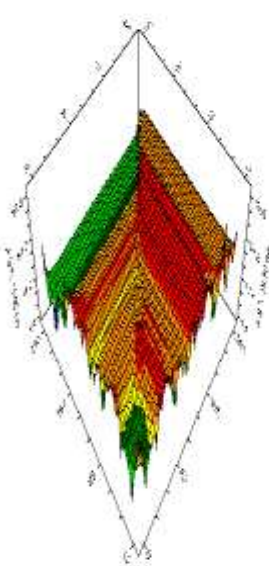


محتوى التربة الرطوبى الحجمي



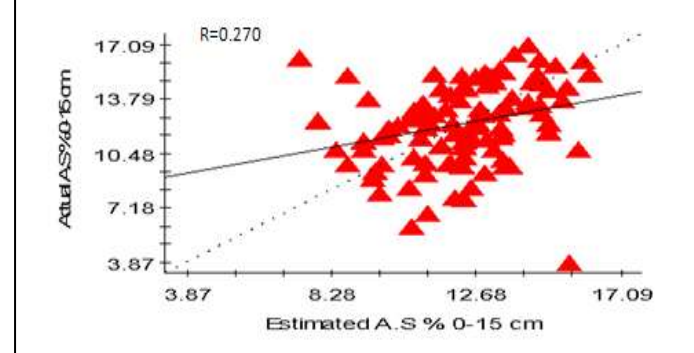
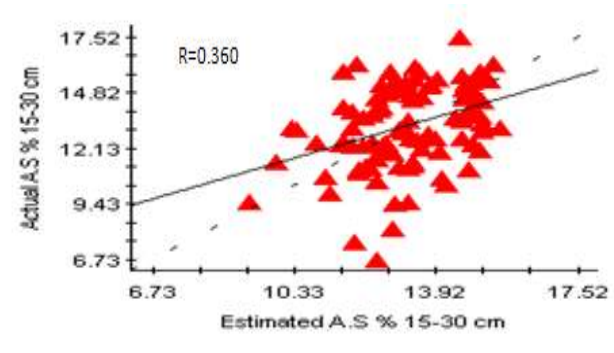
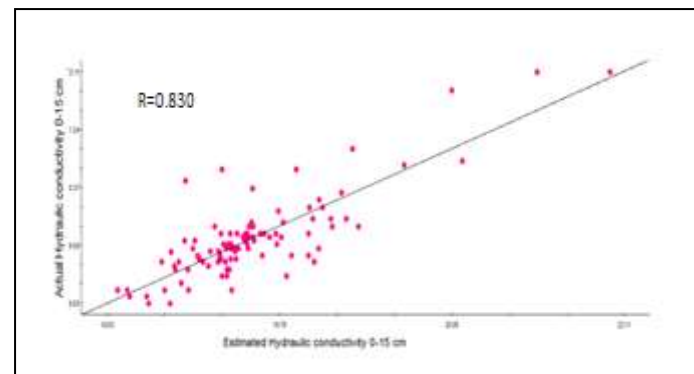
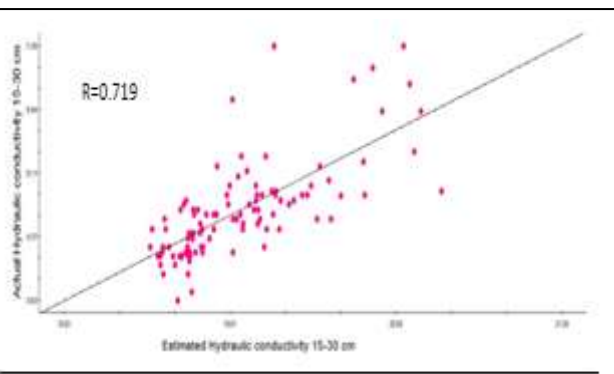
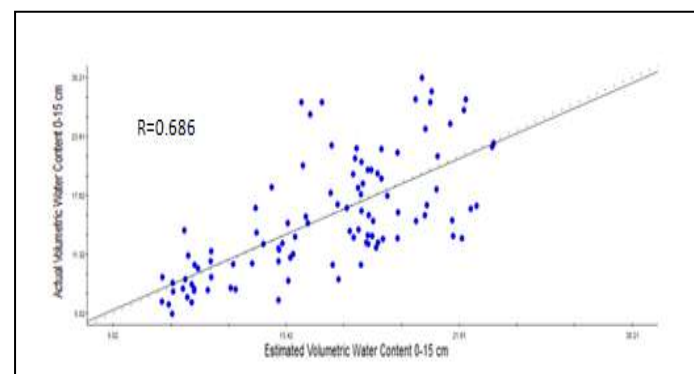
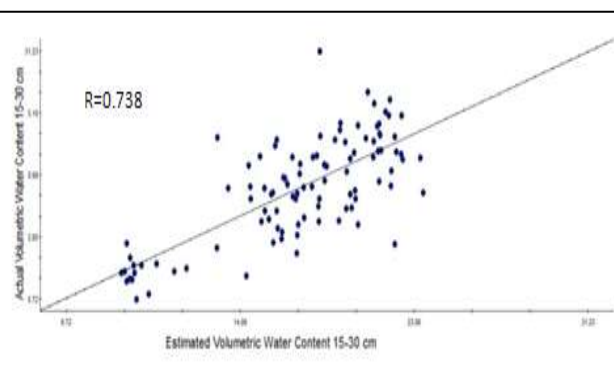
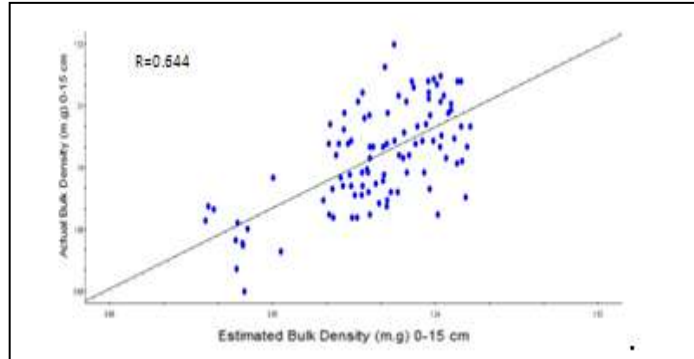
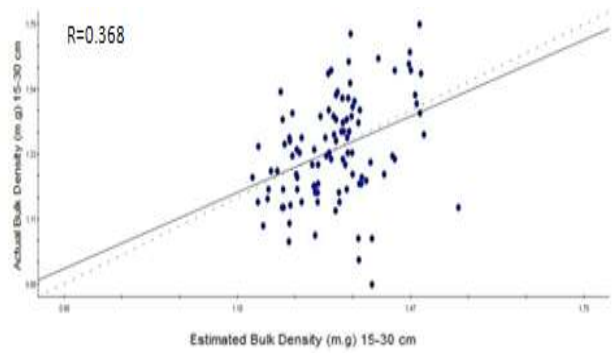


الايصالية المائية المشبعة
للتربة

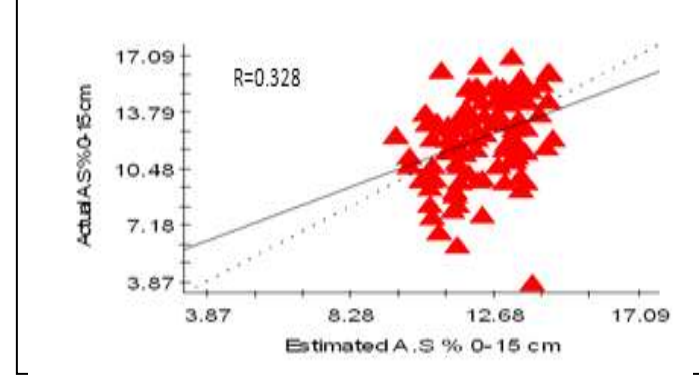
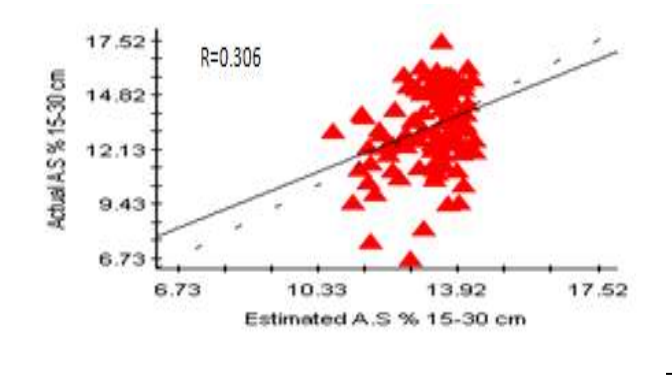
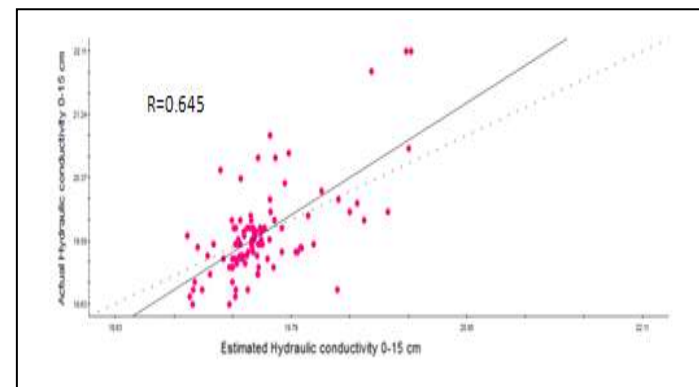
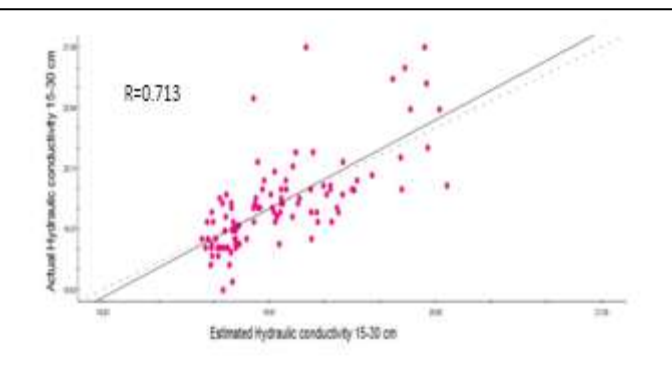
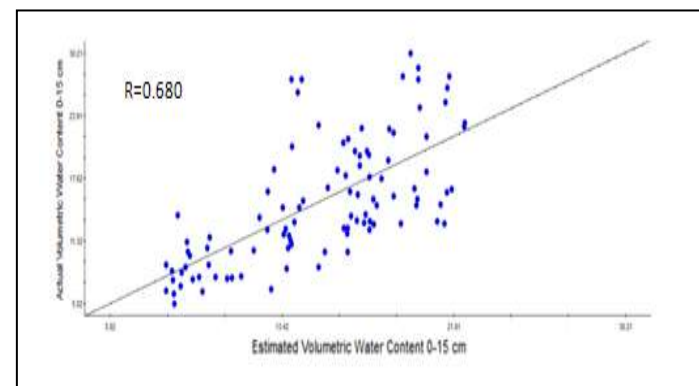
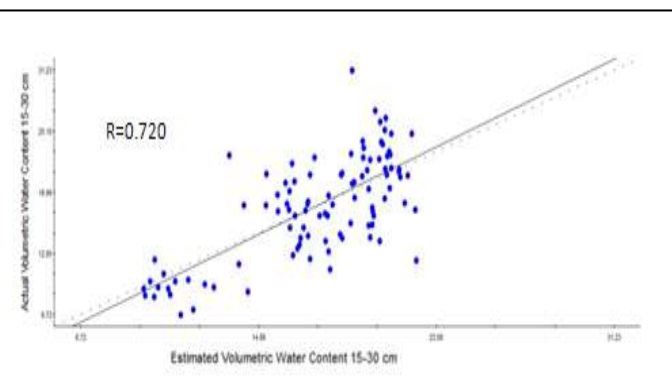
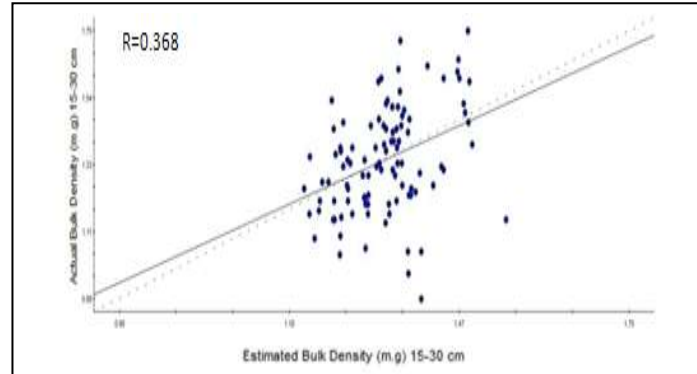
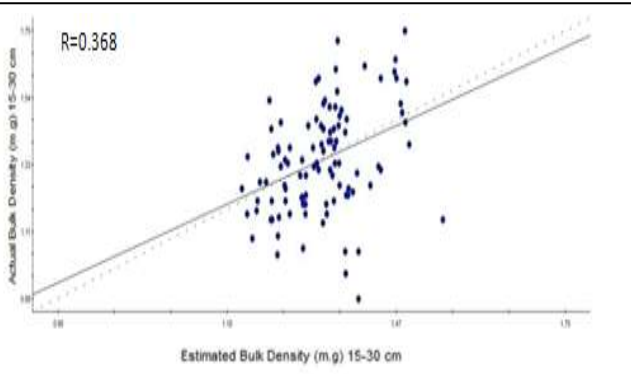


ثباتية تجمعات التربة

شكل (1) يمثل ال Curve Fitting بين القيم المحسوبة فعلاً والقيم المقدرة لصفات التربة الفيزيائية خلال العمرين الأول على اليمين والثاني على اليسار المرسومة بطريقة الكريجنت البسيط.



شكل (2) يمثل ال Curve Fitting بين القيم المحسوبة فعلاً والقيم المقدرة لصفات التربة الفيزيائية خلال العقين الأول على اليمين والثاني على اليسار المرسومة بطريقة وزن المسافة المعكوس.



المصادر :

- الجنابي ، علاء صالح واللامي ، محسن محارب . 1991a. دراسة تأثير التغيرات الموقعة في التربة على بعض الصفات الفيزيائية . مجلة زراعة الرافدين - مجلد (23) العدد 1 .
- الحديثي ، أكرم التداخل بين الري والسماد النتروجيني وأثره على نمو الحنطة . رسالة ماجستير . كلية الزراعة - جامعة بغداد.
- الحمداني ، عبد الأمير سليمان داود (1982). تأثير خشونة السطح وعمق البذار ومسافات الزراعة على حفظ الرطوبة وإنتاج الحنطة في المنطقة الديميمية. رسالة ماجستير، كلية الزراعة، جامعة الموصل. العراق.
- Black C.A 1965 Methods of soils analysis. Amer. Soc. Of Agron. No. 9 Part 2 Madson Wisconsin (U.S.A) : 770P.
- Campbell, J.B., 1978. Spatial variation of sand content and pH within single contiguous delineations of two soil mapping units. *Soil Sci. Soc. Am. J.* 42, 460–467.
- Cooke, R.A., S. Mostaghimi, and J.B Campbell. 1993. Assessment of methods for interpolating steady-state infiltrability, *Trans. ASAE*, 36:1333–1341.
- D. J. Mulla & Alex B Mcbratney 2002 book of Soil Physics Companion chapter 9 .p 346 by CRC Press LLC .
- Dörner J, Dec D, Peng X & Horn R (2009). Change of shrinkage behavior of an Andisol in southern Chile: Effects of land use and wetting/drying cycles. *Soil and Tillage Research* 106: 45-53
- Dubrule, O. 1984. Comparing splines and kriging, *Computers Geosci.*, 10:327–338.
- Gajem, Y.M., A.W. Warrick, and D.E. Myers. 1981. Spatial structure having implications for hydrologic modeling. *Water Resource Research*, 31: 173–184 .
- Gotway, C.A.,R.B. Ferguson,G.W.Hergert, and T.A. Peterson. 1996. of spatial data. Pergamon Press, New York.
- Hillel, D. (1980). Fundamental of soil physics. Academic
- Isaaks, E.H. and R.M. Srivastava. 1989. An introduction to applied geostatistics, Oxford University Press, NY.
- Janik , G. 2008.Spatial variability of soil moisture as information on variability of selected physical properties of soil *Int.Agrophysics*, 22,35-43.
- Klute, A., and A. Dirksen. 1986. Hydraulic conductivity and diffusivparameters and sample size by bootstrapping. *Soil Sci. Soc. Am. ity: Laboratory methods*. p. 687–734. In A. Klute (ed.) *Methods J.* 50:283–287. of soil analysis. Part I. 2nd ed. Physical and mineralogical methods.
- Kovacs and Associates (1981). Subterranean Hydrology. Book Crafters, Inc., Chelsea, Michigan, USA.
- Kravchenko, A.N., Bullock, D.G., 1999. Acomparative study of interpolation methods for mapping soil properties. *Agron. J.* 91, 393–400.
- Krümmelbein J, Peth S, Zhao Y & Horn R (2009). Grazing-induced alterations of soil hydraulic properties and functions in Inner Mongolia, PR China. *Journal of Plant Nutrition and Soil Science*.

- Laslett, G.M., A.B. McBratney, P.J. Pahl, and M.F. Hutchinson. 1987. Comparison of several spatial prediction methods for soil pH, *J. Soil Sci.*, 38:325–341.
- Low, A. J. (1973). Soil structure and crop yield. *J. Soil Sci.* 24: 249 – 259.
- Maiorana M, Castrignano A & Fornaro F (2001). Crop residue management effects on soil mechanical impedance. *Journal of Agricultural Engineering Research* 79: 231-237.
- Matheron ,G.(1971). The Theory of Regionalized Variable and its applications. *Les Cahiers du center de morphologie mathematique*, No. 5, Fontainebleau, France.
- McGraw. T (1994). Soil test level variability in Southern Minnesota. *Better Crop with Plant Foods*78: 24-25.
- Myers, D. E. (1991) Pseudo-cross-variograms, positive definiteness, and cokriging. *Mathematical Geology*, 23, 805–816.
- Özgöz E, Akbaş F, Çetin M, Erşahin S & Günal H (2007). Spatial variability of soil physical properties as affected by different tillage systems. *New Zealand Journal of Crop and Horticultural Science*. 35: 1-13.
- Özgoz E, Gunal H, Acir N, Gokmen F, Birol M & Budak M (2011). Soil quality and spatial variability assessment of land use effects in a Typic Haplustoll. *Land Degradation & Development*. DOI: 10.1002/lrd.1126 .
- Rendu, J.M. 1978. An introduction to geostatistical methods of mineral evaluation. S. Afr. Inst. Mining& Metallurgy, Monograph Series, Geostatistics 2:84.
- Robinson TP, Matternicht G. 2006. Testing the performance of spatial interpolation techniques for mapping soil properties. *Comput Electron Agric* 50:97-108.
- Russell , E.J .1950 . Soil Condition and Plant growth,Longmans,Green and Co., London .VIII Edn.,63.
- Russo, D. and M. Bouton. 1992. Statistical analysis of spatial variability in unsaturated flow parameters, *Water Resour. Res.*, 28:1911–1925.
- Santra , Priyabrata ; U.K. Chopra ; D. Chkraborty. 2008. Spatial Variability of soil properties and its application in predicting surface map of hydraulic parameters in an agricultural farm .*Current science* ,vol .95,No.7,10.
- Vauclin, M., S.R. Vieira, G. Vachaud, and D.R. Nielsen. 1983. The use of cokriging with limited field soil observations, *Soil Sci. Soc. Am. J.*, 47:175–284.
- Warrick AW. Spatial variability. In: Hillel D, editor. *Environmental soil physics*. New York: Academic Press; 1998. p. 655±76.
- Warrick, A.W., R. Zhang, M.K. El-Harris, and D.E. Myers. 1988. Direct comparisons between kriging and other interpolators, p. 505–510, in P.J. Wierenga and D. Bachelet (eds.), International conference and workshop on the validation of flow and transport models for the unsaturated zone, NM State University, Las Cruces, NM.
- Wendroth O, Reuter H I & Kersebaum K C (2003). Predicting yield of barley across a landscape: A state-space modeling approach. *Journal of Hydrology* 272: 250-263

- Whelan, B.M., A.B. McBratney, and R.A. Viscarra Rossel. 1996. Spatial prediction for precision agriculture, p. 331–342, in P.C. Robert, R.H. Rust, and W.E. Larson (eds.), Precision agriculture, Am. Soc. Agron., Madison, WI.
- Wilsun, Z. and K. Starzewski (1975). Soil Mechanics and Foundation Engineering. Vol. I. Surrey university press, London.
- Zhang, R., D.E. Myers, and A.W. Warrick. 1992. Estimation of the spacial distribution of soil chemicals using pseudo-cross-variograms, *Soil Sci. Soc. Am. J.*, 56:1444–1452.